

VIGILANCIA SINÓPTICA DE SUDAMÉRICA

SEPTIEMBRE 2021



RESUMEN MENSUAL

Fig. 1

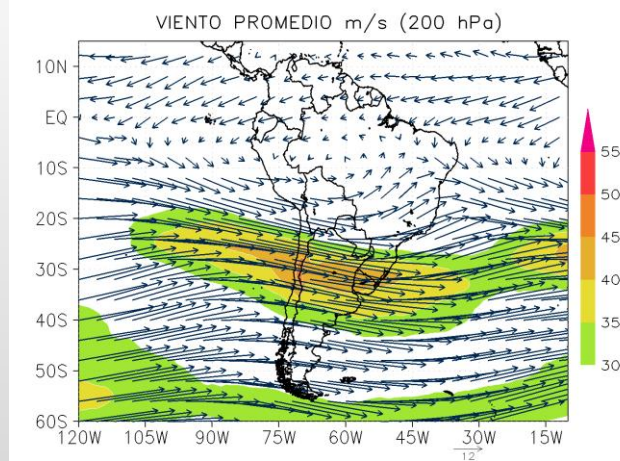


Fig. 2

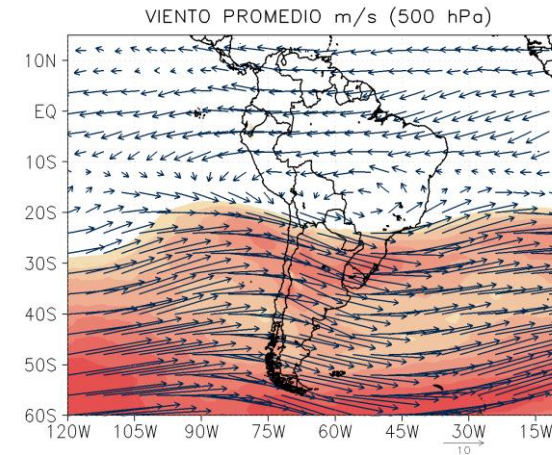
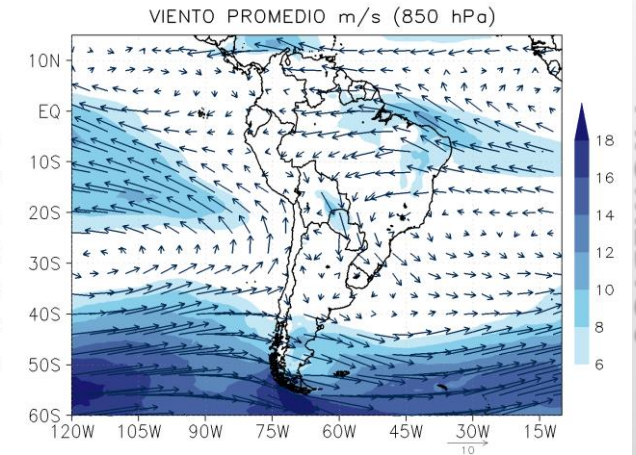


Fig. 3



PROMEDIOS

En **niveles altos**, predominó la dorsal tropical en latitudes bajas, lo que incentivó la incursión de vientos del oeste al sur de Perú, favoreciendo anomalías negativas de precipitación. En latitudes medias la Corriente en Chorro Subtropical dominó el norte de Chile, Argentina y Uruguay, configuración que apoya mayormente la subsidencia a gran escala con sectores divergentes aislados asociados a las circulaciones ageostróficas.

En **niveles medios**, en latitudes tropicales dominó el flujo del este, afectando la mayor parte de la Amazonía peruana; en tanto que entre Bolivia y el sur de Brasil se observó un sistema anticiclónico, que también favoreció el ingreso de flujos del este al sur de Perú. En latitudes medias por otro lado predominó el ingreso de sistemas de vaguada desde el océano Pacífico.

En **niveles bajos**, el Anticiclón del Pacífico Sur (APS) presentó valores de presión por encima de su normal, una configuración zonal y un núcleo centrado lejos del continente. Asimismo, el Anticiclón del Atlántico Sur (AAS) presentó valores por debajo de su normal, y desplazado hacia el este. La Zona de convergencia intertropical (ZCIT) se observó desplazada hacia el hemisferio norte, con influencia sobre Venezuela. En tanto que las anomalías negativas de precipitación prevalecieron durante este mes pero en menor medida que agosto.

Fig. 4

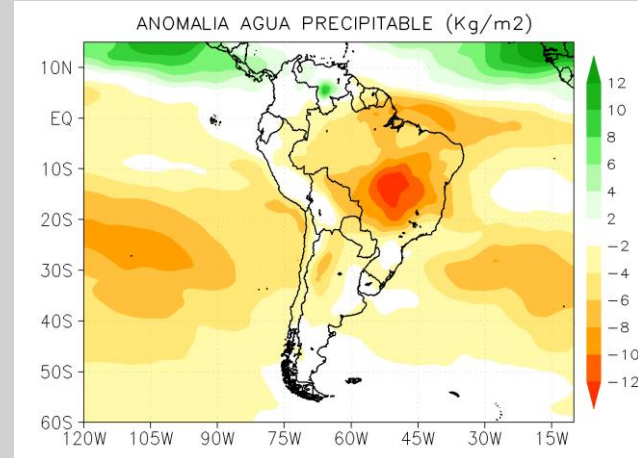
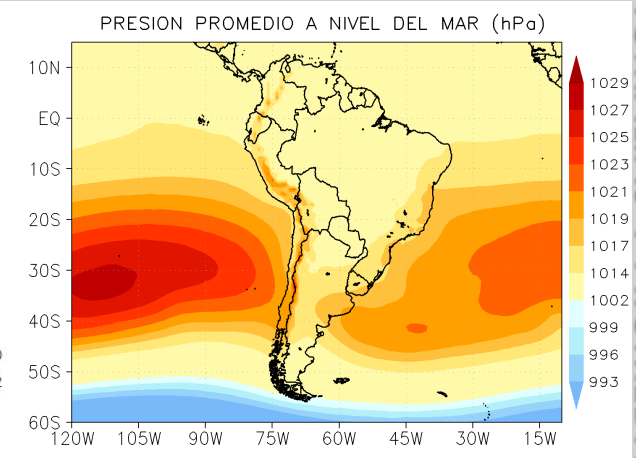


Fig. 5



ANOMALÍAS Y PROMEDIOS

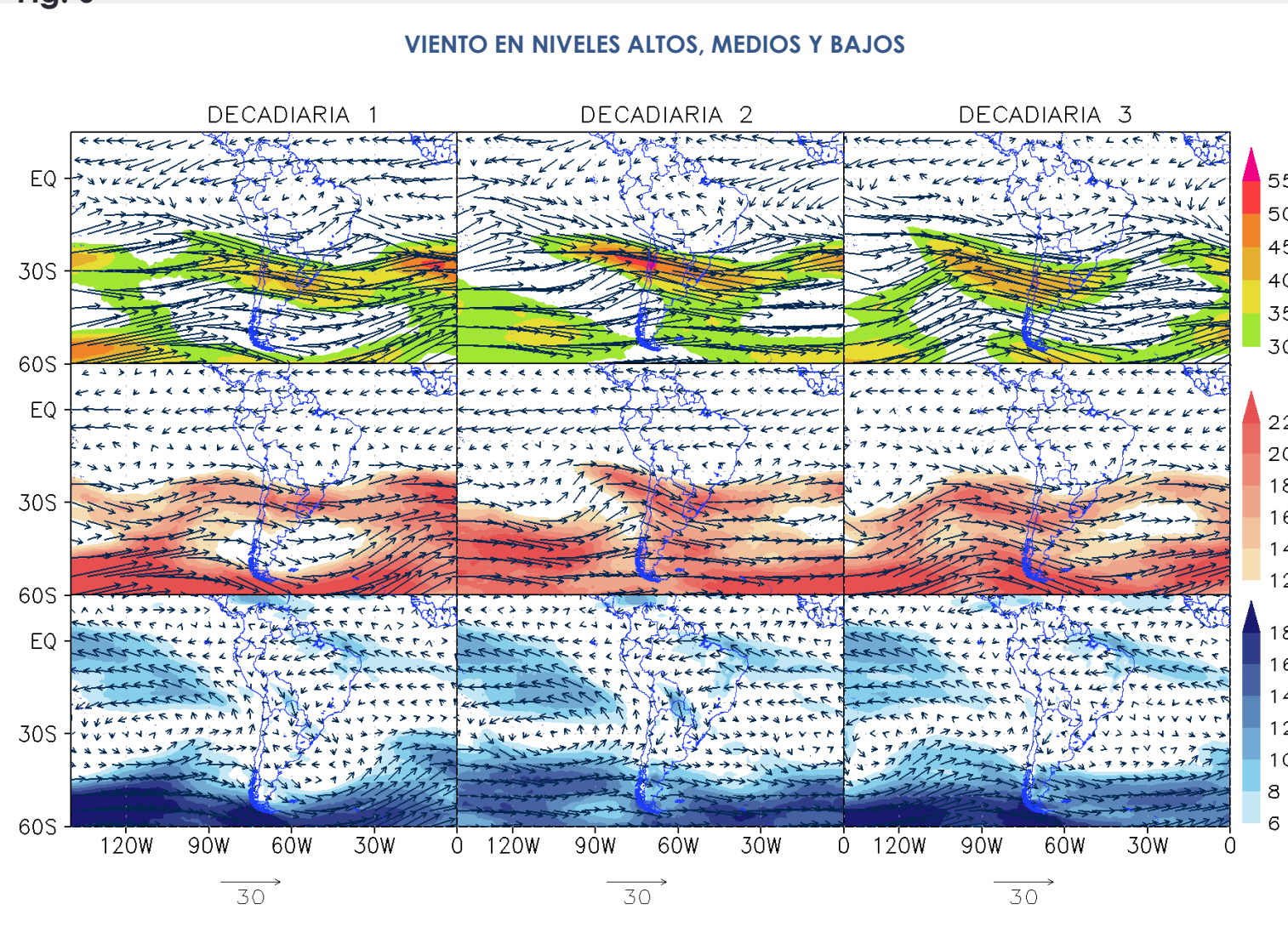
DECADIARIAS

Durante la **1ra decadiaria**, en niveles altos se observó una circulación anticiclónica sobre la Amazonia, permitiendo el ingreso de vientos del este al norte del país. En niveles medios se observó el ingreso de vientos del este al norte del Perú. En niveles bajos se observó el ingreso de vientos del sur, incentivados por el APS.

Durante la **2da decadiaria**, en niveles altos la circulación anticiclónica se desplaza hacia el sur; en tanto que el jet subtropical se intensificó significativamente. En niveles medios se observó el ingreso de una vaguada al sur de Perú, favoreciendo la ocurrencia de precipitaciones en la sierra sur al final del periodo. En niveles bajos el APS se intensificó, sin embargo, se alejó del continente; por otro lado se intensificó el jet de bajos niveles sobre Paraguay.

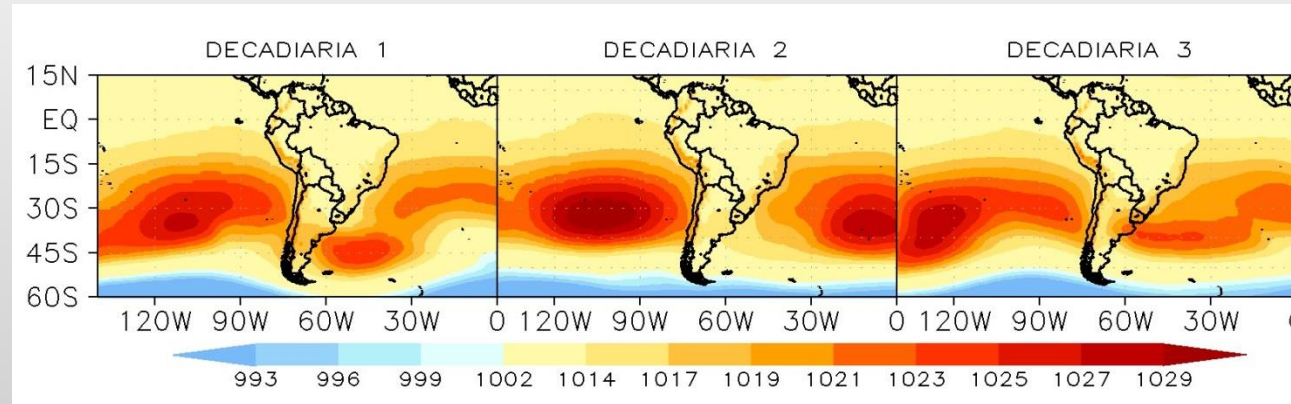
Durante la **3ra decadiaria**, en niveles altos dominó el flujo del oeste en el sur y centro del país. En niveles medios prevalecieron los vientos del este sobre el Perú. En niveles bajos se debilitó el APS, asimismo el jet de bajos niveles se disipó.

Fig. 6



PRESIÓN REDUCIDA A NIVEL DEL MAR

Fig. 7

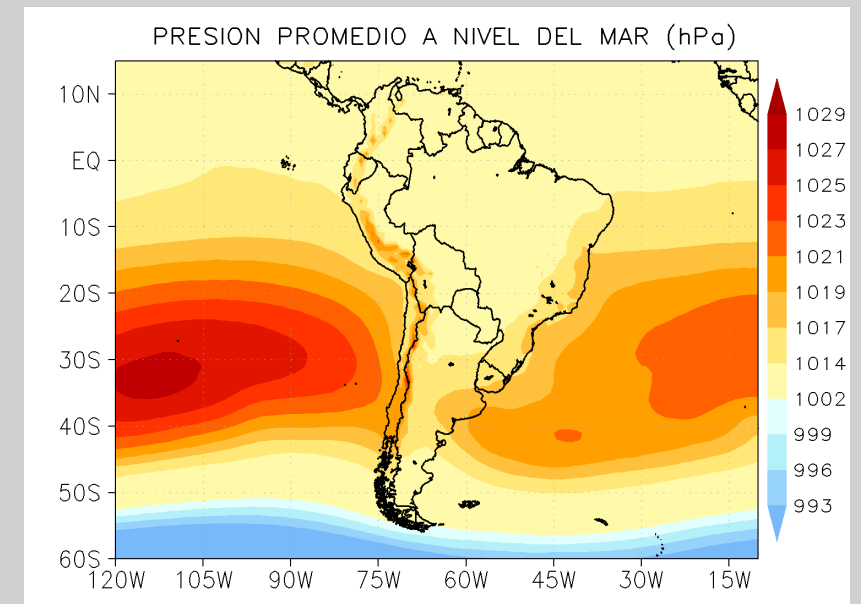


En la **primera decadiaria**, el Anticiclón del Pacífico Sur (APS) presentó valores dentro de su normal, con una configuración zonal, en tanto que el Anticiclón del Atlántico Sur (AAS) se presentó con dos núcleos, al oeste de su posición normal y con valores por debajo de su normal.

En la **segunda decadiaria**, el APS se intensificó; en tanto que el AAS se desplazó hacia el este, con un núcleo y se intensificó.

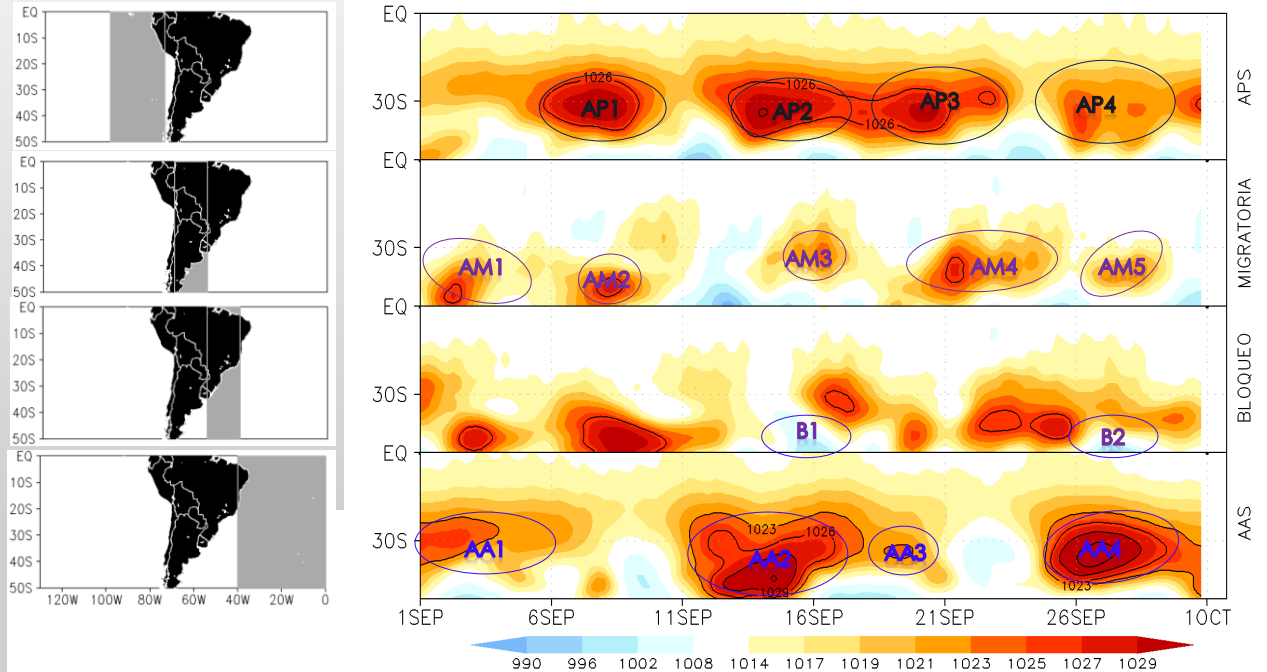
En la **tercera decadiaria**, el APS se debilitó, con una configuración ligeramente más meridional y se alejó del continente, en tanto que el AAS se volvió a dividir, acercándose a continente y con valores por debajo de su normal.

Fig. 8



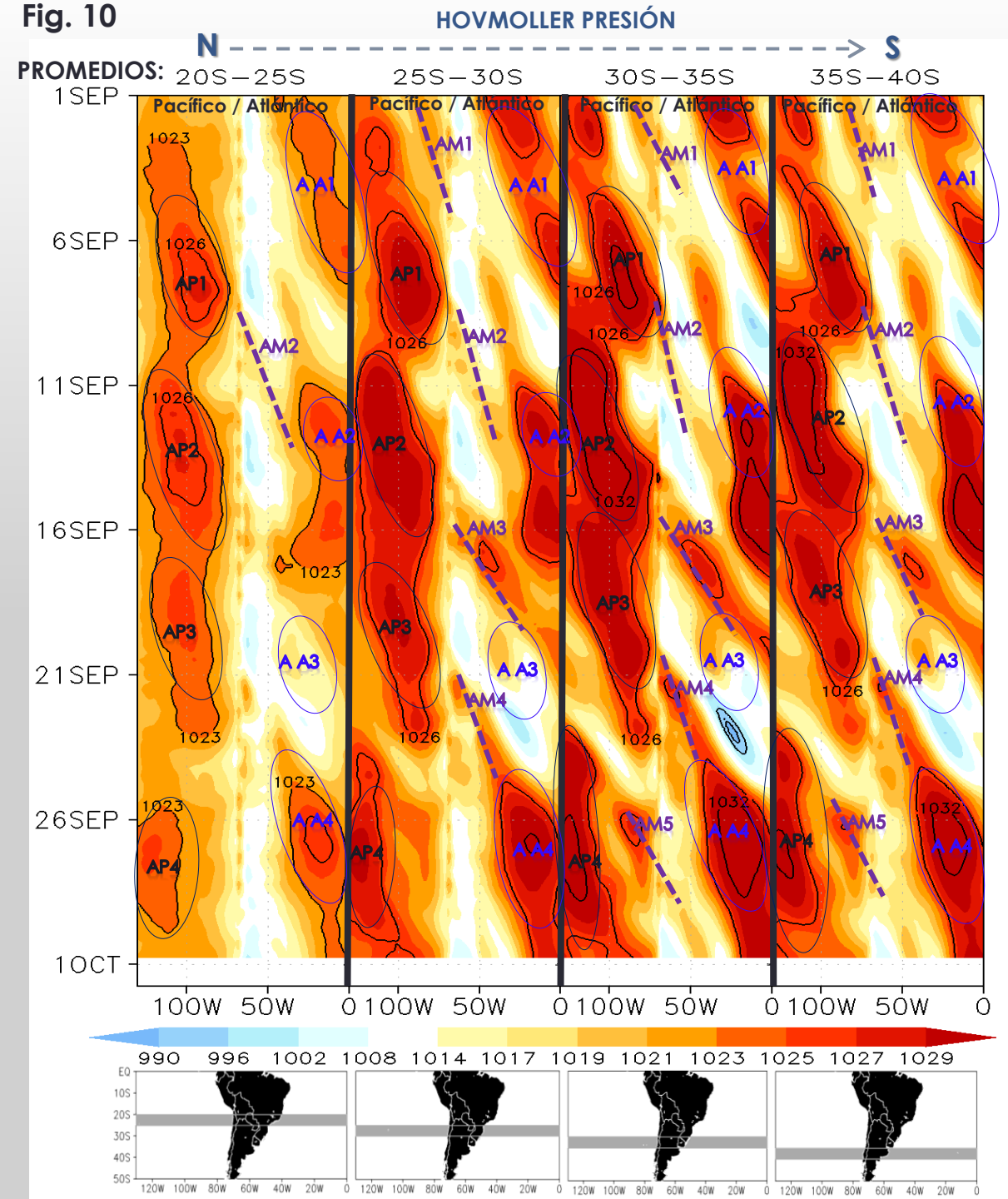
HOVMOLLER PRESIÓN

Fig. 9



En el mes de septiembre, se observaron 4 núcleos del APS, siendo el más intenso el que se presentó durante la segunda decadiaria, con valores superiores a los 1029 hPa. Por otro lado, se observaron 4 núcleos del AAS, el más intenso se registró durante la segunda decadiaria, con valores superiores a los 1032 hPa. Además, se presentaron 5 altas migratorias (AM) y un friaje.

Fig. 10

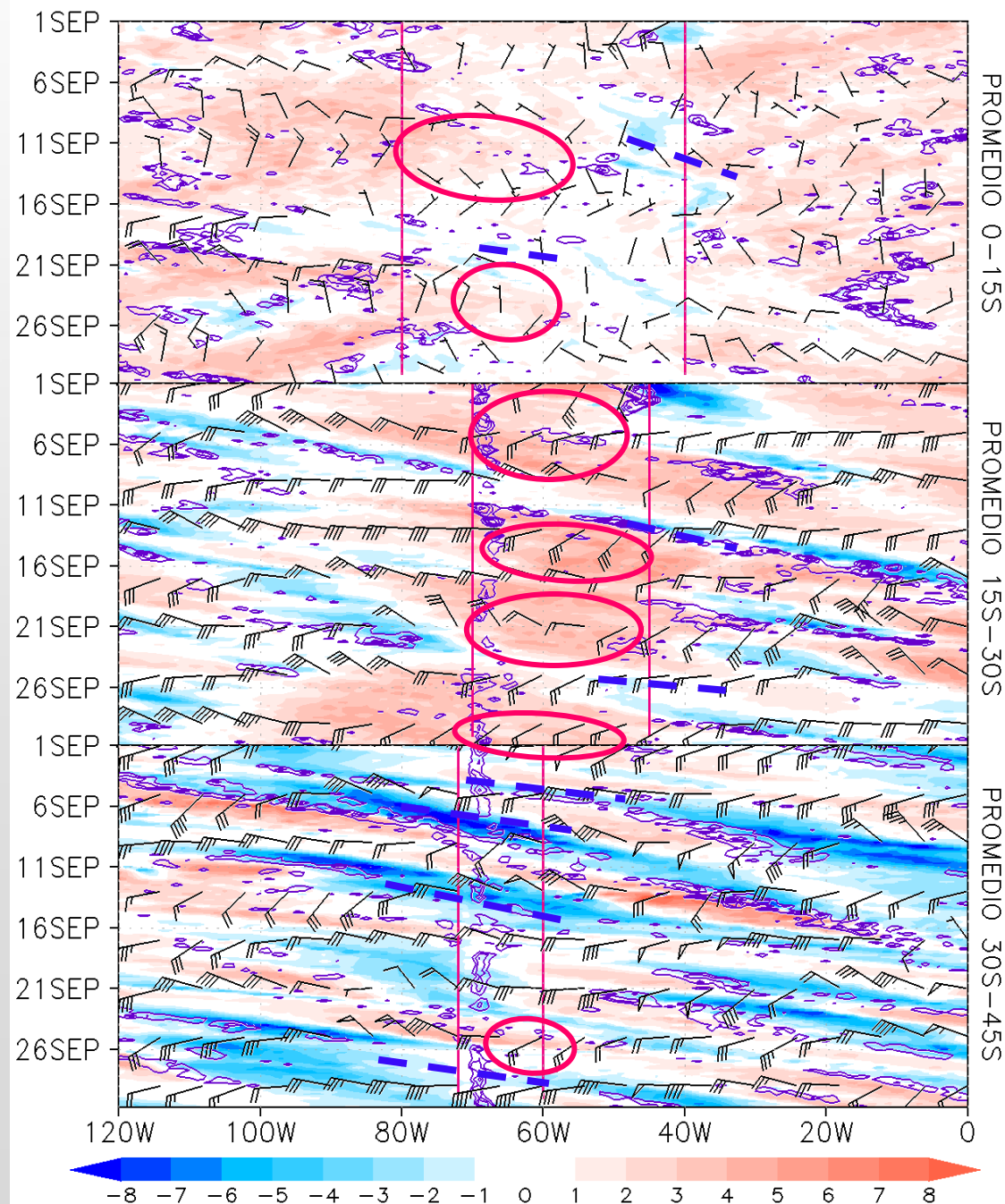


NIVELES ALTOS

- En latitudes tropicales (0-15°S), durante la primera decadiaria se observó el dominio de patrones de dorsal, factor que propició anomalías negativas de precipitación en la región, con un ingreso breve de una vaguada a fines de la segunda decadiaria, que fomentó la ocurrencia de precipitaciones en la sierra sur.
- En latitudes entre 15 y 30°S dominaron los patrones de dorsal durante todo el mes, con prevalencia de vientos del oeste. Al este de continente se observó brevemente la presencia de vaguadas.
- En latitudes mayores (30-45°S), se observó una predominancia de circulaciones ciclónicas durante todo el periodo, por otro lado, durante la primera decadiaria la corriente en chorro presentó una mayor intensidad.

Fig. 11

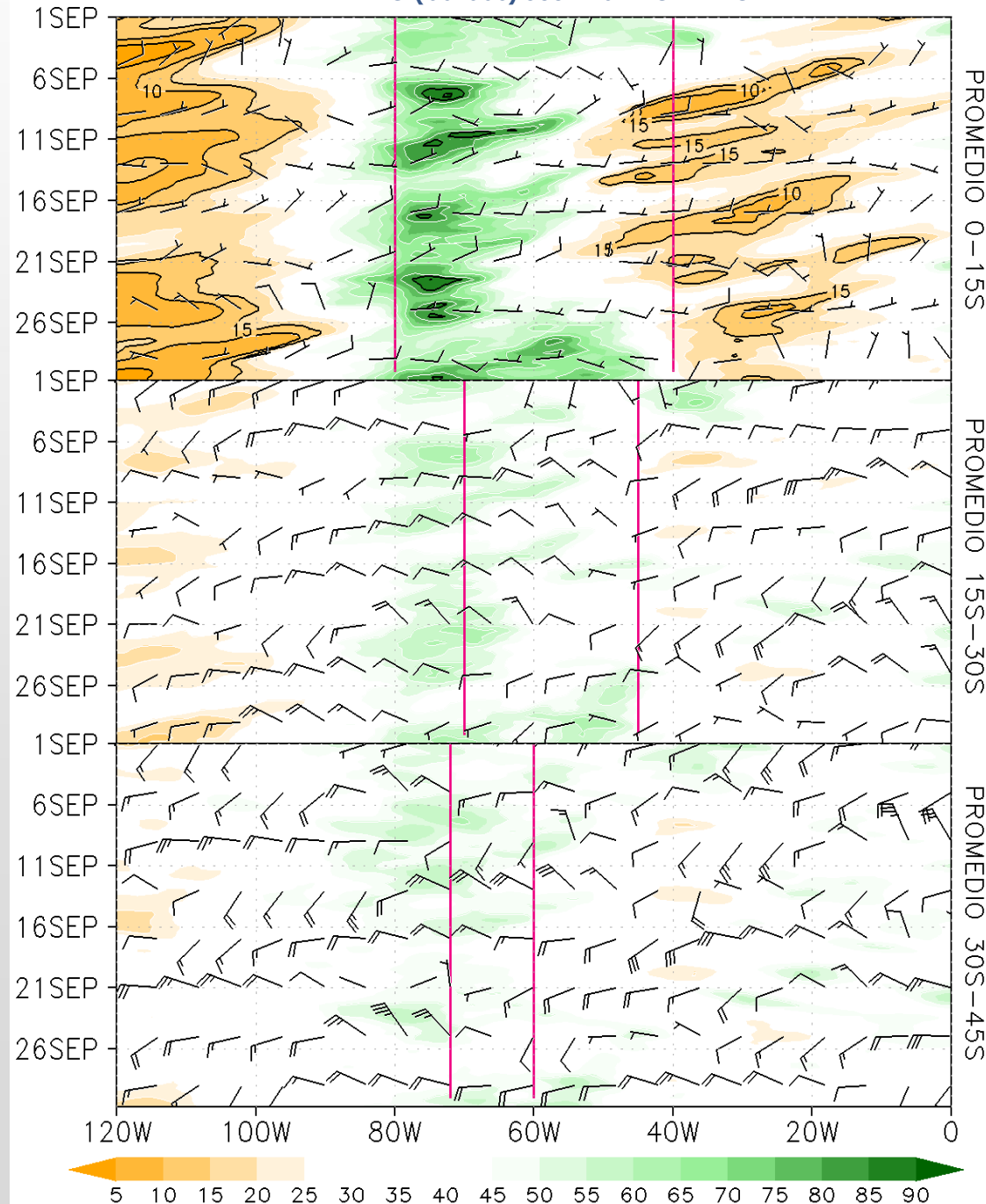
HOVMOLLER VORTICIDAD RELATIVA (sombreado) Y VIENTO (barbas) EN 200 hPa



NIVELES MEDIOS

- En latitudes tropicales (0-15°S), se observa el mayor nivel de humedad a partir de la segunda mitad de la primera decadiaria, asociado al ingreso de vientos del este. Los niveles de esta son significativamente mayores al mes anterior y se extienden mas al este.
- En la zona central de Sudamérica (15-30°S) se observo mayor humedad durante la segunda decadiaria, en tanto que en latitudes extratropicales (30-45°S), se observó el mayor nivel de humedad durante la primera decadiaria.

Fig. 12 HOVMOLLER HUMEDAD RELATIVA PROMEDIO 500-600 (sombreado) Y VIENTO (barbas) 500 hPa PROMEDIO



NIVELES BAJOS

- En latitudes cercanas al Ecuador, se observó valores de relación de mezcla alrededor de los 13 g/Kg durante la mayor parte del mes, asociado a vientos del noreste y la confluencia de flujos.
- En latitudes entre 15-30°S, se presentó los mayores valores de relación de mezcla (mayores a 10 g/Kg) durante la primera y tercera decadiaria.
- En latitudes extratropicales (30-45°S), se observó los mayores valores de relación de mezcla superiores a 77 g/Kg durante la primera decadiaria hacia el este del continente.

Fig. 13 HOVMOLLER RELACIÓN DE MEZCLA (g/kg) (shaded) Y VIENTO (barbas) 925 hPa PROMEDIO

